

真円柱列の Blockage Coef. の誘導とそれに基づく 波の反射率と透過率の算定

大阪市立大学工学部 正員 角野 昇八
 大阪市立大学工学部 正員 小田 一紀
 パシフィック・コンサルタント(株) 正員 ○伊庭 智生

1. まえがき 昨年の海岸工学講演会他において、任意断面鉛直柱体列による波の反射と透過現象に対する境界値問題に関して、従来よりは取り扱いがさらに厳密と思われる解析結果を発表した¹⁾。得られた反射率η_Rおよび透過率η_Tは、波数k(=2π/L)とBlockage Coefficient と呼ばれる理論定数Cの関数として、極めて簡単な形で

$$\eta_R = \sqrt{k^2 C^2 / (k^2 C^2 + 1)} \quad \dots \dots (1, a), \quad \eta_T = \sqrt{1 / (k^2 C^2 + 1)} \quad \dots \dots (1, b)$$

のように表わされる。したがって柱体断面形状のみに依存するこのC(長さの次元をもつ)を求めることができれば、線形理論による反射率および透過率は上式より直ちに算定されることになる。このCを求めるためには、等角写像等の理論によつて柱体列近傍の流れを解析するか、あるいは数値計算による必要があるが、平板列²⁾や矩形柱列³⁾、疑似円柱列⁴⁾に対しては既に解が得られている。ただ、このうち疑似円柱の断面は、柱体列の隙間が広い場合には円形に近いが、狭くなるにつれて歪み、楕円形になつてゆく特性をもつてゐる。したがつて式(1)による理論値を実験値と比較した場合、円柱列の場合には、両者の合致の程度は他の柱体列の場合に比べて幾分劣るという難点がある。そこでここででは、まだ解が示されていない真円柱列に対するCの解析解の誘導を行なうとともに、その値を用いて算定したη_Rおよびη_Tの理論値と実験値とを比較することにより、得られたCの妥当性を検証する。

2. 真円柱列のBlockage Coef. の誘導 流れの中に無限柱体列が設置された時、列付近の流れは局所的にはゆがめられるが、上下流無限遠方では流速Vの一様流が保持される(図-1参照)。このようなく2次元流に対する速度ポテンシャルは、その時間項を省略して次式のように表わされる⁵⁾。

$$\phi = U(x \pm C) \quad \dots \dots (2)$$

式中の符号は、流れの上流側では負符号、下流側では正符号をとる。このCは、流れに障害物が全く存在しない時にはC = 0、逆に柱体列が完全に閉塞される場合にはC = ∞の値をとることよりも明らかなるように、柱体列による流れの阻害の程度を表わす定数と解釈することができる。したがつてこの特性からも容易に理解されるように、Cは柱体列の付加質量とも密接な関連があり⁶⁾、Sedov²⁾は、このCと柱体の単位長さ当たりの付加質量入_xとの間に以下の関係があることを見いだした。

$$\lambda_x = -\rho S + 2\rho D C \quad \dots \dots (3)$$

ここにρは流体密度、Sは柱体断面積、Dは隣接柱体の中心間隔である。
 されば、既述の方法の他、柱体列の付加質量を知つて、

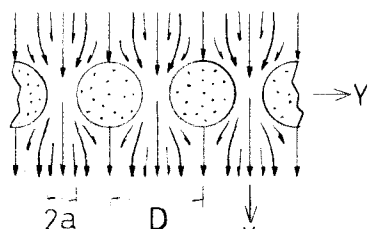


図-1. 柱体列をすぎる流れ

式(3)の関係を用いることによると、でも C を求めることができ。一方、円柱列の2次元付加質量については、すでに Massel¹⁷⁾ によると、解析的にその解が求められており、列と直角方向に流体が運動する場合には、 $\lambda_x = 2\pi S / (1 - b_0[0; (1-2a/D); 1, 1]) \dots\dots (4)$ ここに $2a$ はスリット幅であり、したがって $2a/D$ は開口率を表す。式中の Massel による表記である $b_0[\dots]$ は $b_0[0; (1-2a/D); 1, 1] = \pi^2 (1-2a/D)^2 / 12 \dots\dots (5)$ のように算定されるので、結局式(4)は $\lambda_x = 24\pi S / \{12 - \pi^2 (1-2a/D)^2\} \dots\dots (6)$ のようになる。上式を式(3)に代入し、また同時に $S = \pi(D-2a)/4$ であること考慮すれば、 C は以下のように求めることができる。

$$C = D \frac{\pi}{8} \left(1 - \frac{2a}{D}\right)^2 \frac{36 - \pi^2 (1-2a/D)^2}{12 - \pi^2 (1-2a/D)^2} \dots\dots (7)$$

図-2 は、式(7)による C を C/D として無次元化し、開口率 $2a/D$ の関数として表したものである。図中には、次式で表される疑似円柱列に対する C の値も併せて示した。

$$C = D/2 \cdot (1-2a/D) \cdot \cot(\pi/2 \cdot 2a/D) \dots\dots (8)$$

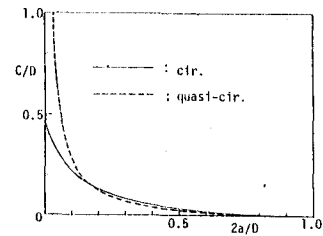


図-2 Blockage Coef.

この図に示さるよう、開口率が 0.1 以上の場合、両者の対応は比較的良好であるが、それ以下の開口率に対しては、両者の値は大きく異なる。また、既述のように、 $2a/D \rightarrow 0$ となる時 $C \rightarrow \infty$ となるべきであるが、ここに得られた真円柱列に対する C は $2a/D = 0$ のときに $C/D = 4.816\dots$ の値となる。したがって $2a/D = 0$ の極く近傍の値に対しては、式(7)による値の精度は悪くなる、といふことが予想される。

3. 反射率および透過率

式(7)および式(1, a)から求められる η の値を η_L の関数として、図-3 に示す。図中には、同条件下にある実験値¹⁸⁾ および式(8)の C より算定される疑似円柱列に対する理論値¹⁹⁾ も示した。これらの図によれば、ここで求めた真円柱列の C を用いた理論値と実験値との対応は、疑似円柱列の C を用いた場合に比べて一段と良くなっている。したがって、ここに誇張した C の妥当性は証明されたものと思われる。ただ開口率が $2a/D = 0.03$ の場合には理論値と実験値との対応は悪くなるが、その理由としては、既述の式(7)の C の $2a/D = 0$ 近傍における精度の悪さが考えられる。一方、式(1, b)より求められる η の値は、理論的にはエネルギー損失の影響が全く考慮されていないために、当然のことながら実験値よりも一般に幾分大きい値を与える。このなかで図-4 は、 $2a/D = 0.23$ の場合の値を示すが、理論値は実験値とほぼ合致している。したがって円柱列で $2a/D \geq 0.25$ の場合には、エネルギー損失の影響は無視できる程度小さいことが結論づけられよう。

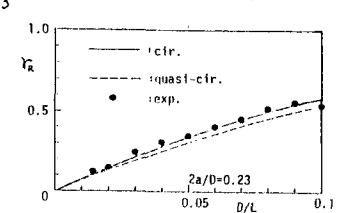
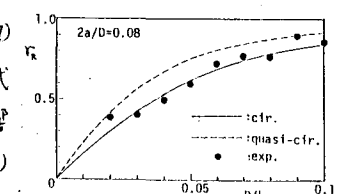
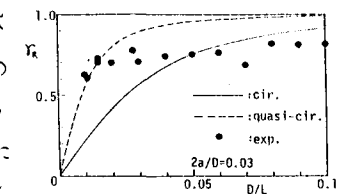


図-4 透過率

図-3 反射率

4. 参考文献：省略